

# پیش آموزش ساختار القا کننده

تاریخ دریافت: 12 مرداد 1401

متیو بی ای مک درموت<sup>۱,۲</sup>, برندان یاپ<sup>۱</sup>, پیتر شولوویتس<sup>۱</sup> وارینکا زینتیک<sup>۱</sup>

پذیرش: 02 اسفند 1401

منتشر شده آنلاین: ۱ ژوئن 2023

بررسی به روزرسانی

پیش آموزش مدل زبان و روش های همه منظوره مشتق شده، تحقیقات یادگیری ماشین را تغییر داده است. با این حال، عدم قطعیت قابل توجهی در مورد اینکه چرا پیش از آموزش عملکرد وظایف پایین دستی را بهبود می بخشد، وجود دارد. این چالش هنگام استفاده از پیش آموزش مدل زبان در حوزه های خارج از زبان طبیعی تلفظ می شود. در اینجا ما این مشکل را با تجزیه و تحلیل چگونگی تحمیل ساختار رابطه ای در فضاهای نهان القایی در هر نمونه بررسی می کنیم - یعنی روش های پیش آموزش چه محدودیت هایی را بر فاصله یا هندسه بین جاسازی های از پیش آموزش دیده نمونه ها اعمال می کنند. بررسی جامع روش های پیش از آموزش نشان می دهد که این سوال با وجود تحلیل های نظری که اهمیت درک این شکل از ساختار القایی را نشان می دهد، باز است. بر اساس این بررسی، ما یک چارچوب پیش از آموزش را معرفی می کنیم که درک دقیق و جامعی از چگونگی القای ساختار رابطه ای را امکان پذیر می کند. ما یک تجزیه و تحلیل نظری از چارچوب از اصول اولیه ارائه می دهیم و ارتباطی بین سوگیری استقرایی رابطه ای برقرار می کنیم

عملکرد قبیل آموزش و تنظیم دقیق. مطالعات تجربی شامل سه روش داده و ده وظیفه تنظیم دقیق، تجزیه و تحلیل های نظری را تأیید می کند، طراحی روش های جدید پیش آموزش را اطلاع رسانی می کند و پیشرفت های مداوم را در مجموعه ای از روش ها ایجاد می کند.

پارادایم یادگیری پیش از آموزش (PT)/تنظیم دقیق (FT) (همچنین به عنوان یادگیری انتقال شناختی می شود) تأثیر فوق العاده ای بر پردازش زبان طبیعی (NLP) و حوزه های مرتبط<sup>۳-۱</sup> داشته است. روش های پاسخ های متن آزاد به سؤالات زبان طبیعی<sup>۴</sup>، پیش بینی خواص پروتوتاین ها از توالی های<sup>۵</sup> و امکان پیش بینی سنتز واکنش از رشته های<sup>۶</sup> سیستم ورودی خط ورودی مولکولی ساده شده مولکولی<sup>۶</sup> (SMILES) هستند.

در NLP یا PT/FT مشتق شده از NLP، برای یک روش داده پیش از آموزش معین

XX، یک مجموعه داده  $X \in XXNPT$  با اندازه  $Z \in NPT$  به ما داده می شود و یک رمزگذار XXX:  $\theta$ : پارامتریزه شده توسعه  $\theta$  را از قبل آموزش می دهیم، که XX را به یک فضای نهفته XX ترسیم می کند. سپس این رمزگذار  $\theta$  برای استفاده در کارهای مختلف FT (که در طول PT مشخص نیستند) منتقل می شود. ما سیستم های PT/FT را از طریق عملکرد  $\theta$  در وظایف FT مذکور ارزیابی می کنیم.

در این مقاله، ما در درجه اول به اثربخشی PT برای کارهای پایین دستی که در سطح هر نمونه کار می کنند، می پردازیم. برای

به عنوان مثال، در NLP، ارزیابی احساسات یک بررسی کامل رستوران یک کار به ازای هر نمونه است، برخلاف شناسایی یک توکن موجودیت نامگذاری شده در یک جمله، که یک کار درون نمونه و هر نشانه است. یکی از جنبه های PT که چنین عملکرد نهایی FT را هدایت می کند، هندسه القایی فضای نهفته از پیش آموزش دیده و در هر نمونه XX است (که به طور رسمی در -Meth-ods تعریف شده است). به عنوان مثال، به خوبی مستند شده است که جاسازی جملات تولید شده توسط مدل های زبانی از پیش آموزش دیده در NLP می تواند غیر روان و ناهمسانگرد باشد، که به عملکرد کار پایین دست آسیب می رساند<sup>۷</sup> توجه داشته باشید که استفاده ما اصطلاح مدل زبان به روش هایی اشاره دارد که برای تولید جاسازی های از مدل FT از مدل های زبان از پیش آموزش دیده طراحی شده اند، نه به مدل های زبان خوده هم بسته برای نسل). در حوزه های دیگر، مانند روش های زیست پژوهشی، که وظایف هر نمونه حتی بیشتر از وظایف درون نمونه ای در مقایسه با NLP است، اهمیت این هندسه فقط افزایش می یابد. با وجود این اهمیت، تحقیقات در مورد مکانیسم های القای محدودیت های ساختاری صریح و عمیق در XX محدود است. به عنوان مثال، بسیاری از روش ها هندسه را نادیده می گیرند

<sup>۱</sup>آزمایشگاه علم کامپیوتر و هوش مصنوعی، موسسه فناوری ماساچوست، کمبریج، MA، ایالات متحده آمریکا. <sup>۲</sup>گروه انفورماتیک زیست پژوهشی، دانشکده پژوهشی هاروارد، بوستون، MA، ایالات متحده آمریکا. <sup>۳</sup>موسسه بود MIT و هاروارد، کمبریج، MA، ایالات متحده آمریکا. <sup>۴</sup>ابتکار علوم داده هاروارد، کمبریج، MA، ایالات متحده آمریکا. <sup>۵</sup>الکترونیکی:

[marinka@hms.harvard.edu](mailto:marinka@hms.harvard.edu)

از XX با تحمیل هیچ از دست دادن PT بر روی تعییه های کل نمونه<sup>3,8,9</sup>. روش های دیگر یا فقط محدودیت های کم عمق را تحمیل می کنند، مانند از طریق طبقه بندی کمکی هدف PT<sup>1,10,11</sup> یا محدودیت های ساختاری عمیق<sup>17</sup>، اما به شیوه ای ضمنی، مانند از طریق افزایش داده های مبتنی بر افزایش داده<sup>12-17</sup>.

با تلفات تضادی مبتنی بر نویز<sup>18,19</sup>. در حالی که چنین روش هایی می توانند قادر تمند باشند و در بسیاری از زمینه ها موفق بوده اند، ما استدلال می کنیم که فقدان یک جارچوب روش برای طراحی روش های PT که محدودیت های ساختاری را بر XX تحمیل می کند که به طور همزمان صریح (مشابه تلفات طبقه بندی نظارت شده) و عمیق (مشابه تلفات تضادی مبتنی بر سر و صدا و مبتنی بر تقویت) هستند، یک ضعف اساسی است.

بر اساس این مشاهده، ما چارچوبی را توسعه می دهیم که بر اساس آن هدف PT به دو جزء تقسیم می شود: اول، یک هدف جانبه مدل زیباتی یا نویز زدایی که از روابط درون نمونه استفاده می کند، و دوم، یک اصطلاح ضرر که برای منظم کردن هندسه فضای نهان هر نمونه XX هدایت می شود تا الگوهای انتقال یک نمودار مشخص شده توسط کاربر را منعکس کند. با تکیه بر نمودارها برای گرفتن ساختاری که می خواهیم در XX الف کیم، این چارچوب به ما امکان می دهد روش های PT را مشخص کنیم که ساختار عمیق را به شیوه ای صریح القا می کنند و دقیقاً شکاف مشخص شده در بالا را بر می کنند. علاوه بر این، این پارادایم می تواند روابط متنوعی را به تصویر بکشد، مانند روابط با انگیزه دانش خارجی (به عنوان مثال، ref. 20)، محدودیت های خود نظارتی (به عنوان مثال، refs. 21,22) یا فاصله بین نمونه ها در یک حالت جایگزین (به عنوان مثال، ref. 23). علاوه بر این، این چارچوب PT به طور همزمان خاص است تا به ما امکان می دهد تضمین های نظری در مورد چگونگی تاثیر نمودارهای مختلف PT بر عملکرد FT ارائه دهیم، به اندازه کافی کلی که اనواع روش های PT را در بر بگیرد و به انداره کافی بیانگر برای ایجاد اینگاهی در روش های جدید PT است که قبلاً مورد مطالعه قرار نگرفته اند. علاوه بر تجزیه و تحلیل نظری، ما به صورت تجربی نشان می دهیم که تعریف روش های جدید با توجه به چارچوب ما، با استفاده از اشکال صریح ساختار دنیای واقعی، مزایای قابل توجهی نسبت به خطوط پایه PT را پایه دارد.

کار ما تحقیقات PT/FT را از طریق سه مشارکت پیش می برد. ابتدا از طریق یک بررسی جامع و تفسیر دقیق، نشان می دهیم که روش های PT موجود آنکه به طور همزمان عمیق و صریح هستند. دوم، ما ایجاد می کنیم

چارچوبی برای توصیف روش های PT، که مکانیزمی را برای طراحی روش های PT فراهم می کند که به صراحت محدودیت های ساختاری عمیق را در XX توسعه یک نمودار PT مشخص شده توسط کاربر ایجاد می کند. ما بیشتر از این چارچوب با نتایج نظری پشتیبانی می کنیم که نحوه ارتباط ساختار نمودار با عملکرد وظیفه FT را تعیین می کند. مهمتر از همه، این رسمیت بخشیدن در پارادایم جدید PT ما بینشی را در مورد اینکه چه زمانی PT به تنهایی نسبت به یادگیری تحت نظارت ارزیش افزوده می کند یا نمی کند، ارائه می دهد. سوم، ما نشان می دهیم که روش های PT الف کننده ساختار از طریق چارچوب ما در سطح یا بالاتر از روش های PT موجود در سه روش داده و ده وظیفه FT عمل می کنند.

## نتیجه

### فرمول بندی عمومی مسئله PT

با توجه به مجموعه داده  $\mathcal{X}^{NPT}$ ، یک روش PT با هدف یادگیری یک رمزگذار  $\theta$ :  $\mathcal{X}^{XX} \rightarrow \mathcal{X}^{XX}$  می باشد که گونه ای که  $\theta$  را می توان به وظایف FT که در زمان PT ناشناخته هستند منتقل کرد. در حالی که ما می توانیم از اطلاعات اضافی در زمان PT برای اطلاع رسانی از آموزش  $\theta$  استفاده کنیم (به عنوان مثال، برچسب های مخصوص YPT (PT)، رمزگذار  $\theta$  باید فقط نمونه هایی از XX را به عنوان ورودی بگیرد تا بتوان از آن برای FT استفاده کرد).

به عنوان مثال، در مدل نمایش رمزگذار دو طرفة از ترانسفورماتورها، (BERT)، XX شامل نمونه های متن آزاد، یک مدل ترانسفورماتور و LPT شامل هر دو مدل سازی زبان پوشانده شده از دست دادن هر نشانه و پیش بینی جمله بعدی (NSP) در هر نمونه<sup>1</sup> است.

تعریف ما از PT کاربردهای ثانویه هدف PT را نادیده می گیرد؛ به عنوان مثال، مدل های زبان خودرگرسیون (برای امتحان، ترانسفورماتور از پیش آموزش دیده مولد (ref. 3)) اغلب برای استفاده مولده آنها به طور مستقیم و نه به طور معمول برای به دست آوردن جاسازی ها یا در یادگیری انتقال استفاده می شود. بنابراین، ما به روش های PT

این منطقه مورد توجه ویژه ای است زیرا روش ها در NLP موفق بوده اند، تعداد زیادی از روش های مشتق شده را در روش های غیرزبانی و زیست پژوهشی<sup>28-25</sup> برانگیخته اند و هموز از نظر فی به طور کامل درک نشده اند.

## تعريف محدودیت های ساختاری صریح و عمیق

در مرکز فرضیه ما این ادعا وجود دارد که امروزه اکثر متندوهای PT مشتق شده از NLP محدودیت های صریح و عمیقی را بر هندسه فضای نهان (در هر نمونه) XX تحمیل نمی کنند. برای توجیه این ادعا، محدودیت های ساختاری صریح و عمیق را از طریق تعاریف زیر تعریف می کنیم.

### تعريف 1 محدودیت های ساختاری صریح در مقابل ضمیمی

LPT یک محدودیت ساختاری را تحمیل می کند که صریح (در مقابل ضمیمی) است تا حدی که (همانطور که  $\theta$  به بینه نزدیک می شود) به ما احراز می دهد تا مستقیماً در مورد رابطه (به ویژه فاصله) بین هر دو نمونه  $zi$  و  $zj$  در فضای زمینه XX استدلال کنیم، جایی که زیرنویس های  $i$  و  $j$  صرفاً برای تمایز بین این دو نمونه در XX استفاده می شوند. **تعريف 2 محدودیت های ساختاری عمیق در مقابل محدودیت های ساختاری کم عمق**.

یک LPT هدف PT یک محدودیت ساختاری را تحمیل می کند که صریح (در مقابل کم عمق) بر اساس میزان اطلاعات (به عنوان مثال، چند بعد) برای براورده کردن کامل محدودیت مورد نیاز است.

به عنوان مثال، یک طبقه بندی از دست دادن PT را با برحسب های موجود در مجموعه در نظر بگیرید

$Y_1, Y_2, \dots, Y_n$ ، با نمونه  $i$  دارای برحسب  $Y_i$ ، و با استفاده از یک لایه لاجیت که نمایش القایی نمونه  $i$  را به یک امتیاز پیش بینی شده ترسیم می کند:  $z_i = \sum_{j=1}^n p_j z_j$ . این روش یک محدودیت ساختاری صریح ایجاد می کند زیرا، نزدیک به بینه بودن، می توانیم استنباط کنیم که فاصله نسبی (کسینوس) بین دو نمونه  $zi$  و  $zj$  کوچک است اگر و فقط اگر  $p_j = 1$  باشد. با این حال، این محدودیت تیز کم عمق است زیرا برای براورده کردن کامل این محدودیت، فقط باید هر کلاس  $Y_i$  را با یک موقعیت منحصر به فرد کامپیوت  $\Theta$  جاسازی کنیم، سپس تمام  $sam$ -sam را فشرده کنیم.

Ples  $zi$  در نزدیکی نمونه اولیه کلاس خود،  $py$ . علاوه بر این، این محدودیت مبتنی بر فاصله را می توان در یک فضای بسیار کم بعد XX انجام داد (برای به عنوان مثال، ما می توانیم هر کامپیوت را به طور یکنواخت در مورد یک دایره واحد دو بعدی توزیع کنیم، سپس تمام  $Zi$  را فشرده کنیم تا در حداقل فاصله کسینوس از نمونه های اولیه کلاس خود ظاهر شوند)، نشان می دهد که این محدودیت بسیار کم عمق است.

در مقابل، یک روش تضادی را در نظر بگیرید که ادعا می کند  $z_i = z_j$  است (x) می باید نزدیکی به  $(x)$  باشد، جایی که  $i$  نسخه آشفته

مشتق شده از روش های NLP علاقه مند هستیم. این

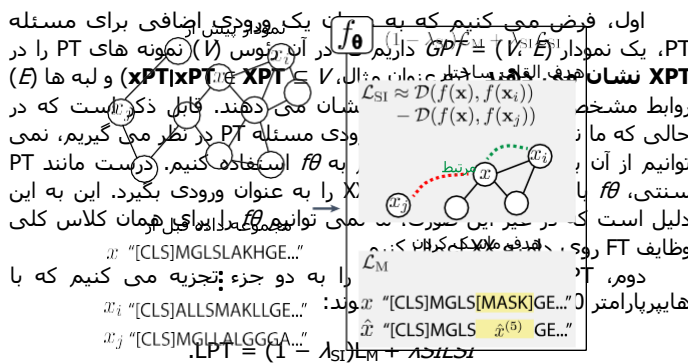
مشتق شده از روش های NLP علاقه مند هستیم. این

از  $\text{z}/\text{X}$  تحت برخی از روش‌های سر و صدا یا تقویت /  $\tilde{\text{x}}/\text{z}$ ، اما به طور همزمان دور از سایر نمونه‌های  $\text{zj}$ . در حالی که این روش فضای نهان را محدود می‌کند تا با توجه به فرآیند نویز صاف باشد، فقط یک محدودیت ضمنی در XX ارائه می‌دهد، زیرا به طور کلی نمی‌توان استنباط کرد که چگونه فاصله بین نمونه‌های متمایز  $\text{zi}$  و  $\text{zj}$  محدود شده است. با این حال، محدودیتی عمیق‌تر از طبقه‌بندی اجباری تحمیل می‌کند، زیرا ارتباطات ضمنی بین نمونه‌های ناشی از روش نویز منعکس کننده روابطی است که لزوماً نمی‌توانند در یک فضای کم بعد (بسته به اندازه و چگالی مجموعه داده) ثابت شوند.

### محدودیت‌های متد PT موجود

برای نشان دادن اینکه روش‌های موجود به طور گسترده ابزاری برای تحمیل محدودیت‌های ساختاری که به طور همزمان عمیق و صریح هستند، ارائه نمی‌دهند، ما بیش از 90 روش PT موجود را بر اساس اینکه چگونه توابع هدف آنها XX را محدود می‌کند، بررسی می‌کنیم (داده‌های توسعه یافته شکل 1 و اطلاعات تکمیلی تکمیل). برای جزئیات کامل در مورد یافته‌های مرور ما، به روش‌ها مراجعه کنید. در تمام روش‌های بررسی شده، متوجه می‌شویم که محدودیت‌های ساختاری عمیق و صریح به ندرت مورد استفاده قرار می‌گیرند. در عوض، اکثر روش‌ها یا (1) هیچ هدف PT برای هر نمونه را تحمیل نمی‌کنند (به عنوان مثال، مدل‌های تولید متن، که اغلب برای حاسازی‌ها استفاده نمی‌شوند، بلکه برای برنامه‌های کاربردی محرک یا مولد <sup>3,8,9,31</sup> استفاده می‌شوند).

(2) از اهداف PT صریح، اما کم عمق و تحت نظارت استفاده کنید (به عنوان مثال، هدف NSP BERT، هدف محمول ترتیب جمله (SOP) A Lite BERT (ALBERT) یا اهداف مختلف چند وظیفه <sup>1,10,11</sup>)، یا (3) از اهداف PT تصادی (یا اهداف جمله متضاد <sup>los<sub>ses</sub> 12,13,18,19,32</sup>) یا سایر رویکردهای مبتنی بر سر و صدا یا مبتنی بر تقویت <sup>17-14</sup>).



**انجیر 1 | چارچوب PT** ما، ما فرمول PT را با در نظر گرفتن نمودار  $GPT$  به عنوان ورودی کمکی دوباره ریخته گردی کنیم. برای تعریف یک LSI هدف الف کننده ساختار استفاده می شود، که یک رمزگذار  $f_\theta$  PT را تحت فشار قرار می دهد تا نمونه ها را جاسازی کند به گونه ای که نمونه ها در فضای نهفته نزدیک باشند، اگر و تنها در صورتی که در  $GPT$  مرتبط باشند.

(لیه ها) در جی پی تی. در چارچوب ما،  $LSI$  فقط برای جی پی تی،  $f_\theta$  و  $XX$  اگر اجازه می دهد برخی از بهینه سازی پایدار در آن نقطه شعاع در تمام روش های بررسی شده، متوجه می شویم که تنها چهار روش محدودیت های صریح و عمیق را به طور همزمان تحمیل می کنند: تعبیه دانش و بازنمایی زبان انگلیسی از پیش آموزش دیده (KEPLER)<sup>33</sup>، آگاه از دانش XLM-K<sup>34</sup>، CK-GNN<sup>35</sup> و WebFormer<sup>36</sup>. هر چهار را می توان به عنوان نوعی تراز نمودار در هر نمونه توصیف کرد، که در آن یک نمودار دانش PT خارجی  $GPT$  یا الگوریتم اتصال بر روی زیرمجموعه ای از نمونه های استفاده می شود و تعبیه های خروجی جفت نمونه های  $zj$  و  $zi = f_\theta(xj)$  =  $f_\theta(xj)$  محدود به انکاس روابط خود در نمودار PT هستند. این شکل از محدودیت صریح است، زیرا گراف  $GPT$  حاوی روابط صریحی است که در فضای نهفته خروجی القا می شود، اما همچنین عمیق است، زیرا هندسه نمودار  $GPT$  می تواند به طور دلخواه پیچیده باشد.

با این حال، همه این روش ها محدودیت های عمدی دارند. در KEPLER و XLM-K، جاسازی های هر نمونه فقط به مجموعه محدودی از نمونه های مربوط به توضیحات موجودیت از یک نمودار دانش محدود می شود. به این ترتیب، هیچ محدودیتی در نمونه های متن آزاد دامنه عمومی تنها در  $XX^{33,34}$  وجود ندارد. در GNN، اتصال گراف از یک گراف یک همسایه نزدیک به خوشه در فضای فاصله یک مدلیته جایگزین مشتق می شود، که ممکن است یک ساختار مرتبه بالاتر محدود را ارائه دهد. برخلاف رویکردهای NLP، این روش هیچ وظیفه 23 PT درون نمونه (به عنوان مثال، به ازای هر نشانه) ندارد. در نهایت، در WebFormer، نمودار مورد استفاده از ساختار صفحات وب زیرنایابی زبان نشانه گذاری ابرمن (HTML) استنیاط می شود و روابط فقط در سطح هر نمونه برای روابط ساختاری محدود در HTML محدود می شوند. علاوه بر این، WebFormer یک مدل تخصصی به طور خاص برای پردازش محتوا و وب (متن و عناصر HTML) است، بنابراین این رویکرد را نمی توان مستقیماً به دامنه های دیگر تعیین داد. علاوه بر این، این روش ها فقط زمینه های خاص مدل های خود را بررسی می کنند. آنها هیچ چارچوب کلی برای تحقق این محدودیت های عمیق و صریح در هر نمونه در زمینه های دیگر ارائه نمی دهند و هیچ تظریه ای را در مورد چگونگی ارتباط این محدودیت ها با عملکرد وظایف  $FT$  بررسی نمی کنند.

به طور کلی، بررسی ما از روش های PT به صراحت نشان می دهد که روش های PT که قادر به ارائه محدودیت های ساختاری صریح و عمیق هستند، به طور قابل توجهی کمتر مورد بررسی فرار گرفته اند. در تمام روش هایی که بررسی کردیم، تنها چهار روش محدودیت های اهرم صریح و عمیق هستند که همگی محدودیت های قابل توجهی دارند و هیچ اجتماعی در مورد چگونگی محدود کردن  $XX$  به طور صریح و عمیق وجود ندارد. این یافته ها به چارچوب ما انگیزه می دهد، که بینشی را برای تحقق محدودیت های ساختاری عمیق و صریح در مدل های PT در زمینه های مختلف ارائه می دهد و راهنمایی های نظری در مورد چگونگی ارتباط محدودیت های ساختاری با عملکرد FT ارائه می دهد. همانطور که در نتایج خود نشان می دهیم، القای محدودیت های عمیق و صریح از طریق چارچوب ما، مزایای قابل توجهی زیست پژوهی متنوع ایجاد می کند.

## PT الف کننده ساختار

چارچوب مسئله PT ما شامل دو تفاوت کوچک اما مهم با فرمول استاندارد است (شکل 1).

LM یک هدف سنتی و درون نمونه ای است (به عنوان مثال، یک مدل زبانی)، و LSI یک هدف جدید و القا کننده ساختار است که برای منظم کردن هندسه فضای نهان در هر نمونه توسط روابط طراحی شده است

الگوریتم اتصال نزدیکترین همسایه تحت برخی از عملکرد از راه دور در XX GPT را بازیابی می کند (محدویت رسمی در روش ها است). توجه داشته باشید که این محدویت بین چارچوب ما و ثروت تحقیقات موجود متمرکز بر یادگیری نمایش نمودار  $f_\theta$  ارتباط برقرار می کند. این تکنیک ها در واقع بینش های ارزشمندی را در مورد چگونگی نمونه برداری از مینی بچ ها بر روی داده های ساختار یافته با نمودار و ابداع تلفات برای جاسازی نمودار ارائه می دهند؛ با این حال، بسیاری از روش ها برای مدل سازی داده های ساختار پافته نمودار، از جمله جاسازی گراف های عمیق نسبت داده شده و شبکه های عصبی کانولوشن گراف، تباید به عنوان جایگزینی برای تکنیک های مارکووی شوند زیرا معمولاً با زمینه هایی که در آن نمودار در استنتاج شناخته نشده است، سازگار نیستند. زمانی که نمودار آنها در تنظیمات PT می استفاده کرد که در آن  $f_\theta$  باید فقط روابط ورودی های XX را مستقیماً دریافت کند.

از آنجایی که اصطلاح ضرر اضافه شده LSI به صراحت برای القای ساختار  $GPT$  در XX طراحی شده است، ما روش ها (به ویژه روش هایی که از محدویت های ساختاری عمیق و صریح استفاده می کنند) را تحت روش های پیش آموزش ساختار الف کننده چارچوب (SIPT) آموزش می دهیم. بسیاری از رویکردهای PT موجود را می توان به عنوان روش های SIPT دوباره تحقق بخشید، از حمله اهداف PT مبتنی بر طبقه بندی مانند NSP یا SOP، روش های کنتراستیو، یا روش های تراز نمودار موجود (روش ها). اگرچه SIPT به گونه ای طراحی شده است که القای محدویت های ساختاری عمیق و صریح را آسان تر کند، اما به اندازه کافی انعطاف پذیر است تا محدویت های ساختاری ضمنی یا کم عمق را به دست آورد.

## تحلیل های نظری

در چارچوب ما، می توان ساختار GPT گراف  $f$  را به عملکرد نهایی کار مرتبط کرد. به طور خاص، همانطور که یک جاسازی  $f$  SIPT روی گراف  $f$  بهینه سازی تحت LSI از دست دادن نزدیک می شود، یک فضای جاسازی ایجاد می کند به طوری که می تواند از طریق الگوریتم نزدیکترین همسایه بر روی نمودار GPT به دست آید، محدود تر است. این واقعیت به طور مستقیم هندسه گراف  $GPT$  را با عملکرد نهایی  $f$  یک جاسازی  $f$  مرتبط می کند. علاوه بر این، مزیت استفاده از یک محدویت صریح را به جای یک محدویت ضمنی نشان می دهد؛ با کنترل ساختار  $GPT$ ، کاربران می توانند به طور مستقیم انتخاب کنند که سوگیری های استقرایی مختلف را به فرآیند اضافه کنند به گونه ای که تأثیر قابل اثباتی بر مناسب بودن نهایی برای وظایف پایین دستی FT داشته باشد.

**قضیه 1.** بگذرید  $XPT$  یک مجموعه داده PT باشد، بگذرید یک نمودار PT باشد و بگذرید، یک رمزگذار از پیش آموزش LSI را به این  $f$  هدف PT مجاز در چارچوب ما باشد که مقدار  $f$  را به این  $f$ \* درک نمی کند. سپس، تحت جاسازی  $f$ ، دقت نزدیکترین همسایه برای یک وظیفه  $y$  همگرا می شود زیرا اندازه مجموعه داده  $f$  حداقل به سازگاری محلی (تعیین تکمیلی (3) over  $GPT$ ) افزایش می یابد.

ما دو نتیجه از قضیه 1 را ایجاد می کنیم که اهمیت انتخاب نمودارهای GPT را نشان می دهد که محدویت های ساختاری عمیقی را تحمیل می کند.

## جدول ۱ | خلاصه ای از مجموعه داده ها، وظایف و معیارهای ما

شکل	بروتین	چکیده ها	بروتین
نmodار ایکوگراف شبکه برهمکنش پروتین-پروتین	روش داده ( $x_i$ یک ...)	چکیده مقاله ریست پژوهشی	توالی پروتین
Ref. ۲۴	GPT مجموعه داده	نmodار آکادمیک مایکروسافت - بخش ۲۱.۲۲	درخت زندگی
مرکزی $\chi_j$ موافق است.	$(x_i, x_j) \in GPT$	مقاله شی به مقاله ایکس جی استناد می کند	$x_i$ با $X_j$ تعامل دارد
پوشش ویژگی ۲۶	خط پایه به ازای هر توکن	SciBERT <sup>۵۳</sup>	نوار <sup>۵</sup>
پاگیری چند وظیفه ای - بخش ۲۶	خط پایه به ازای هر نمونه	BioLinkBERT <sup>۵۶</sup>	به علاوه <sup>۵۲</sup>
Ref. ۲۵	GPT مجموعه داده	SciBERT <sup>۵۳</sup>	نوار <sup>۵</sup>

به عنوان مثال، برای دامنه پروتین ها، مجموعه داده درخت زندگی<sup>۲۰</sup> است، پروتین ها در GPT گراف PT ما مرتبط هستند اگر و تنها در صورتی که اساس نmodار درخت زندگی تعامل داشته باشند. علاوه بر این، ما وظایف FT را در معیار TAPE با خط پایه خام و هر توکن که به صورت عمومی در مدل<sup>۵</sup> TAPE و یا هر نمونه متنشتر شده در مدل PLUS PT<sup>۵۲</sup> در دسترس<sup>۲۵</sup> است، مقایسه می کنیم.

جدول ۲ | میانگین ( $\pm$  انحراف معیار) کاهش نسبی خطای (تعریف شده به صورت [خطای پایه]-[خطای مدل GPT]/[خطای پایه]) مدل های آموزش دیده تحت چارچوب ما در مقابل خطوط پایه منتشر شده به ازای هر نشانه یا هر نمونه

در مقابل هر نمونه	در مقابل PT به ازای هر توکن	وظیفه	دامنه
کاهش نسبی خطای	Δ	کاهش نسبی خطای	Δ
بروتین	Rh	$1.2 \pm 7.0$ عدد	$2.4 \pm 2.4$ عدد
	Fl	$1.3 \pm 0.8$ -	$1.1 \pm 12.8$ عدد
خیابان		$2.5 \pm 13.1$ عدد	$2.8 \pm 2.2$ -
	Ss	$0.2 \pm 4.5$ عدد	$0.2 \pm 4.5$ عدد
	Cp	$\pm 10.5$	Na
چکیده ها	Pf	$0.2 \pm 0.3$ عدد	$0.3 \pm 0.8$ عدد
	Sc	$4.1 \pm 2.4$ -	$5.5 \pm 11.1$ -
	Aa	$6.5 \pm 17.7$ عدد	$16.2 \pm 11.6$ -
	SRE	$6.7 \pm 0.4$ عدد	$10.1 \pm 3.6$ -
شبکه		$5.2 \pm 7.8$ -	$2.7 \pm 5.1$ عدد

اعداد بالاتر نشان می دهد که مدل های تحت جارچوب مخاطرا بیشتر کاهش می دهند و در نتیجه از خطوط پایه بهتر عمل می کنند. سنتون Δ نشان می دهد که آیا مدل از روش آماری بهبود معنی داری (↑ یا ↓) یا تغییر معنی دار (↔) با کاهش آماری معنی دار (↓ یا ↑) ارائه می دهد یا خبر، معنی داری آماری با استفاده از آزمون  $t$  در معنی داری ارزیابی می شود  $P < 0.1$ . بجزه و تحلیل هر نمونه و برآورد واریاسی برای CP به دلیل هزینه محاسباتی این کار غیرممکن بود. وظایف FT در جدول ۳ توضیح داده شده است.

### نتیجه ۱. یکنارید $XPT \in XXN$ یک مجموعه داده PT با بررسی های

مدربوطه باشد.  $y \in E$  را به گونه ای تعریف کنید که  $(x, y) \in E$ ، اگر و فقط اگر  $y = f(x)$  باشد. سازگاری مخلع برای یک وظیفه FT معنی  $y^{(FT)}$  روی GPT<sup>۵۷</sup> نباشد. سپس، سازگاری مخلع برای هر چارچوب SIPT<sup>۵۸</sup> که زیست پژوهشی شده باشد، این احتمال که بررسی  $y^{(FT)}$  با بررسی کلاس اکثربت برای وظیفه  $y^{(FT)}$  موافق باشد، محدود می شود بیشتر از دسته های متنشکل از همه گره ها یکسان باشند، به عنوان  $x_i$ .

نتیجه ۲. یکنارید  $XPT$  یک مجموعه داده PT باشد که می تواند بر روی یک منيفولد معتبر  $N$  تحقق یابد. فرض کنید  $XPT$  با پشتیبانی کامل از  $N$  نمونه برداری شده است. اجازه دهید  $E$ ،  $GPT$  یک نmodار  $r$  نزدیکترین همسایه روی  $N$  باشد (به عنوان مثال،  $(x_i, x_j) \in E$ ،  $(x_i, x_k) \in E$ ،  $x_i$  اگر و فقط اگر فاصله زنودریک بین دو نقطه روی باشد  $N$  کمتر از  $r$  است:  $x_i \sim x_j$ ). یکنارید  $(DDN, x_i, x_j)$  لایک کار طبقه بندی FT باشد که تقریباً در همه جا روی منيفولد صاف است.

سپس، از آنجایی که اندازه مجموعه داده PT (و در نتیجه اندازه  $GPT$ ) تمايل به  $\infty$  دارد و  $r$  به صفر می رسد، سازگاری مخلع  $y^{(FT)}$  روی GPT (و بنابراین توسط قضیه ۱ دقت نزدیکترین همسایه یک جاسازی کننده SIPT) نیز به یک تمايل خواهد داشت.

به طور غیررسمی، این نتیجه گیری ها ثابت می کنند که هنگامی که از

تضمين عملکرد FT، ناشی از ميزان سازگاری بررسی وظیفه FT در کلاس های تحت هدف PT تحت نظرت است. در مقابل، اگر از یک محدودیت ساختاری عمیق استفاده شود، که در نتیجه ۲ از طریق GPT که نزدیکترین نmodار همسایه بر روی یک منيفولد دلخواه N است، تحقق می یابد، یک مدل SIPT تضمين نظری برای عملکرد FT را مجاز می داند که با افزایش اندازه مجموعه داده PT به روی N صاف است، به وحدت نزدیک می شود.

این تحلیل نظری نشان می دهد که ما می توانیم به طور مستقیم ساختار القا شده در XX را به عملکرد FT پایین دست متصل کنیم. به این ترتیب، روش های جدید PT که از نmodارهای GPT با محدودیت های ساختاری عمیق تر استفاده می کنند، می توانند عملکرد FT را به طور قابل توجهی بهبود بخشنده، همانطور که در مجموعه داده های دنیا واقعی در آزمایش های خود نشان خواهیم داد. اثبات کامل برای تمام نتایج تئوریکال و آزمایش های نیمه سنتزی که یافته های نظری ما را در عمل تأیید می کند، در روش FT در قرار دارد.

### مجموعه داده ها و وظایف

ما سه روش داده را برای آزمایش های خود بررسی می کنیم: "پروتین ها"، "توالی های پروتئینی را حفظ می کنند. "چکیده ها"، "حاوی چکیده های زیست پژوهشی با متن آزاد؛ و "شبکه ها"، "حاوی زیرنگارف های شبکه های برهمکنش پروتین-پروتین (PPI)".

در هر روش داده، ما از مجموعه داده های مختلف PT استفاده می کنیم و از انواع مختلف نmodارهای GPT استفاده می کنیم، میارهای موجود برای عموم را برای وظایف FT آزمایش می کنیم و روش های SIPT خود را با خطوط پایه مقایسه می کنیم (جدول ۱). جزئیات بیشتر در مورد این جنبه ها در روش ها آمده است.

### LSI و روش های آموزشی

همانطور که در تعریف چارچوب ما بحث شد، یک روش SIPT با یک روش استاندارد PT با (۱) انتخاب نmodار GPT (جدول ۱) و (۲) طرحی از دست دادن ساختار القا L. برای تعریف L در یک محدودیت ساختاری کم عمق استفاده می شود (به عنوان مثال، یک طبقه بندی تحت نظرت)، مدل معادل SIPT مرتبط فقط حداقل را مجاز می دارد.

SI

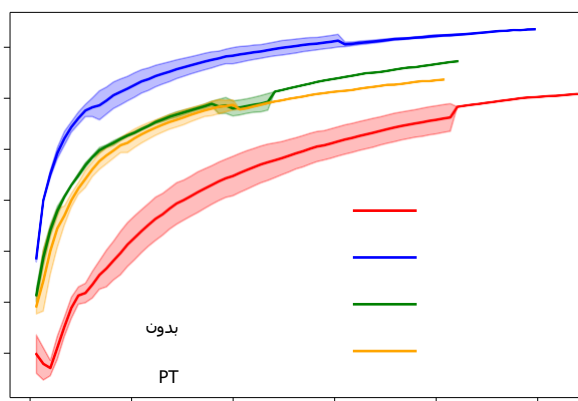
آزمایشات، ما از ایده های یادگیری متربک حفظ ساختار استفاده می کنیم. یادگیری متربک حفظ ساختار شکلی از یادگیری متربک است که در آن روابط مثبت توسط لبه های یک نمودار به جای یک برجسب تحت نظرارت مشترک تعریف می شود. ما دو ضرر را تطبیق می دهیم، یک ضرر سنتی و یک از دست دادن چند شباهت<sup>46</sup>. از یادگیری متربک نظرات شده تا زمینه مبتنی بر نمودار و حفظ ساختار اصطلاحات LSI در SIPT<sup>44,42</sup> علاوه بر این تلفات، در حوزه های چکیده ها و پروتئین ها، ما از یک روش شروع گرم برای مقداردهی اولیه PT از مدل های زبانی موجود به جای شروع از صفر استفاده می کنیم. این باعث صرفه جویی در زمان محاسبانی قابل توجهی می شود و امکان یک مطالعه فرسایش قادرمند را برای جداسازی بهبود عملکرد برای معرفی اصطلاح LSI ما فراهم می کند . دوم، ما مطالعات گسترده ای را در مورد تنظیم ابرپارامترها در این دو حوزه انجام می دهیم تا مقادیر مناسب برای LSI<sup>47</sup> را شناسایی کیم و آن یافته ها را با حوزه شبکه ها تطبیق دهیم. جزئیات بیشتر در مورد مجموعه آزمایشی، از جمله اظهارات رسمی از ضررها کنترالاستی و چند شباهت ما، در روش ها آمده است. توجه داشته باشید که همانطور که در برنامه های PT استاندارد است، برای هر الگوریتم PT و مدلalیته داده، ما یک مدل واحد را از قبل آموزش می دهیم

متريک	توضیحات	FT	وظیفه	مجموعه داده
		مخلف	نام	
دقت	تکلیف طبقه بندی بر اساس توالی برای پیش بینی دسته چین های پروتئینی	Rh	همسانی از راه دور	نوار <sup>5</sup>
دقت	تکلیف طبقه بندی هر توکن برای پیش بینی خواص ساختاری اسید آمینه	Ss	ساختار ثانویه	
μ/سیرسن	تکلیف رگرسیون بر-توالی برای پیش بینی پایداری	Xb	ثبات	
μ/سیرسن	تکلیف رگرسیون بر-توالی برای پیش بینی فلورسانس	Fl	فلورسانس	
دقت @ 5 / 6	طبقه بندی درون دنباله ای برای پیش بینی اینکه کدام چفت ها اسیدهای آمینه در ترکیب سه بعدی پروتئین در تماس هستند	Cp	پیش بینی تماس	
F1-roc	مسنله طبقه بندی هر جمله برای پیش بینی حوزه مطالعاتی یک مقاله از عنوان آن	Pf	زمینه مقاله	SciBERT <sup>53</sup>
F1-roc	مسنله طبقه بندی هر جمله برای پیش بینی قصد استناد	Sc		SciCite
F1-roc	مسنله طبقه بندی هر جمله برای پیش بینی قصد استناد	Aa		ACL-ARC
F1-roc	استخراج رابطه علمی	SRE		استخراج رابطه علمی
AUROC	طبقه بندی پایبری چند برچسبی به 40 اصطلاح هستی شناسی زن			شبکه <sup>26</sup>

عملکرد فلورسانس (FL)، پایداری (ST) و میدان کاغذ (PF). برای جزئیات بیشتر در مورد این **وظایف به جدول 3** و اطلاعات تکمیلی مراجعه کنید و به یاد بیاورید که متريک F1 میانگین هارمونیک دقت و بادآوری است. **شکل 2** نشان می دهد که چگونه عملکرد در تکارهای FT برای مجموعه داده های شبکه ها تکامل می دهد تا مشخص شود که آیا بهبودهای مشاهده شده در مقادیر همگرای نهایی در طول آموزش وجود دارد یا خیر. می بینیم که روش های SIPT سریعتر به عملکرد بهتری نسبت به هر دو خط پایه همگرا می شوند. نتایج خام در تمام تنظیمات در جداول داده های توسعه یافته 3 و 4 ارائه شده است.

### دستاوردهای عملکرد SIPT قوی است

دستاوردهای عملکرد SIPT در هر سه روش داده و انواع مختلف GPT ادame دارد. این نشان می دهد که منظم کردن صریح هندسه فضای نهفته در هر نمونه ارزشی را در NLP، توالی های غیر زبانی و دامنه های غیر متوالی ارائه می دهد. بعلاوه



شکل 2 | عملکرد FT از طریق شبکه ها. میانگین ± انحراف معیار FT AUROC به عنوان تابعی از تکرار FT برای مجموعه داده شبکه ها. تفاوت در مقایس واریاس ناشی از اجراهای مختلف است که باعث توقف رودهنجام در تکارهای مختلف می شود. روش SIPT سریعتر همگرا می شود و عملکرد بهتری نسبت به دون نمونه (مدل سازی گره تقابیدار) یا هر نمونه (طبقه بندی چند وظیفه) دارد. Mask-PT نشان دهنده انجام قلی از آموزش انتساب ماسک به تنها ی است، در حالی که SIPT ترکیبی از این دو رویکرد را از طریق چارچوب SIPT می نشاند.

کند. در برخی موارد، دستاوردهای عملکرد قابل توجه است، با بهبود تقریبا 17% (تفاوت خام ماقرو- F1) در 6% (F1-roc) در ACL-ARC (AA)، 0.01 (GPT) در استخراج رابطه RH (SRE) (F1-roc) 0.4% در همسانی از راه دور (RH)؛ 2% تفاوت مطلق. مدل های SIPT عملکرد پیشرفتی جدیدی را در AA و RH ایجاد می کنند و با پیشرفتی ترین مدل ها مطابقت دارند.

مجموعه داده PT، سپس آن یک مدل از پیش آموزش دیده را در هر وظیفه به طور مستقل تنظیم کنید؛ به عبارت دیگر، در هیچ تنظیمی نیازی به آموزش یک مدل جداگانه برای هر وظیفه FT نداریم.

### SIPT با همه خطوط پایه مطابقت دارد یا بهتر عمل می کند

برای تجزیه و تحلیل آزمایشات خود، کاهش نسبی خطای مدل SIPT بهترین عملکرد را در مقابل خطوط پایه هر توکن یا هر نمونه در تمام وظایف FT محاسبه می کنیم (جدول 2). در 10 مورد از 15 مورد، SIPT نسبت به روش های موجود بهبود می یابد. به هیچ وجه بدتر از هیچ یک از پایه ها عمل نمی

استفاده از نمودارها، از جمله آنهاي که توسط دانش خارجي تعریف می شوند، توسط سینگال های خود نظراتی در داده ها به طور مستقیم، و با روش های نزدیک ترین همسایه در فضاهای برجسب چند وظیفه ای، مفید است. علاوه بر این، این پیشرفت ها در مقایسه با رویکردهای مدل سازی زبان استاندارد و در برابر روش های موجود که اهداف PT را به ازای هر نمونه، از جمله اهداف طبقه بندی تک و چند وظیفه تحمیل می کنند، وجود دارد.

### دستاوردها به LSI از دست دادن نسبت داده می شود

همانطور که در روش ها مشخص شده است، طراحی آزمایشی ما به ما اجازه می دهد تا تعیین کنیم که چه مقدار از دستاوردهای مشاهده شده در جدول ۲ به دلیل مؤلفه از دست دادن SIPT است، برخلاف به عنوان مثال، آموزش مدواوم، داده های PT جدید با روش های انتخاب دسته ای مورد استفاده در روش ما، که به طور غیرمستقیم از دانش ذاتی GPT نیز استفاده می کند، که به طور غیرمستقیم از دانش ذاتی GPT نیز استفاده می کند. جای تعجب نیست که برخی از دستاوردها به دلیل این عوامل دیگر مشاهده می شود و با توجه به این مطالعات فرسایش دستاوردهای عملکرد کاهش می یابد. با این حال، حتی هنگام مقایسه با حداقل عملکرد پایه یا مطالعه فرسایش به طور کلی، نه جهت روابط مشاهده شده و نه اهمیت آماری مقایسه های مشاهده شده تغییر نمی کند. بنابراین، می توانیم به طور قطعی بیان کنیم که بهبودهای عملکردی مشاهده شده در اینجا به طور منحصر به فرد به اجزای الگا کننده ساختار معرفی شده توسط چارچوب ما نسبت داده می شود. نتایج مطالعه فرسایش کامل را می توان در حداول داده های توسعه یافته ۳ و ۴ یافت.

### بحث

با وجود گسترده تحقیقات در مورد روش های PT، روش هایی برای اعمال محدودیت های ساختاری صریح و عمیق بر روی هر نمونه، PT

فضای نویته XX کمتر مورد بررسی قرار گرفته است (داده های توسعه یافته شکل 1). تحلیل های نظری و تجربی ما نشان می دهد که این کمبود مهم است. به طور مقطعي، ما یک چارچوب PT به نام SIPT را تعریف می کنیم که بر اساس آن از دادت PT به دو جزء تقسیم می شود: یکی که برای گرفتن روابط درون نمونه (به عنوان مثال، در هر نشانه) طراحی شده است و دیگری که برای محدود کردن فضای نویته در هر نمونه برای ثبت اطیبه بین نمونه های ارائه شده توسط GPT گراف PT مشخص شده توسعه کاربری طراحی شده است. در چارچوب ما، ما از نظر تئوری و از طریق ازمایش نشان می دهیم که ساختار الفا شده در XX می تواند مستقیماً به عملکرد نهایی FT متصل شود. از نظر تجربی، ما نشان می دهیم که روش های SIPT با استفاده از انواع نمودارهای PT می توانند به طور مداوم از روش های PT موجود در سه حوزه دنیای واقعی بعتر عمل کنند.

کار ما جدین جهت مهم را برای تحقیقات آینده برجسته می کند.  
به عنوان مثال، آیا ضررهایی برای نمودارهای PT مناسب تر از ضررهای  
بادگیری متريک هستند - به عنوان مثال، آیا می توانيم از فاصله نمودار در کنار  
فاصله درون دسته ای برای بهبود استراتژی های تموهه گيري منفي استفاده  
کنیم؟ علاوه بر این، آیا می توانیم نتایج نظری در مورد همگرایی مدل های از  
بیش آموزش دیده ارائه دهیم؟ به عنوان مثال، آیا می توانیم درک زمان و نحوه  
همگرایی مدل های از پیش آموزش دیده را با راه حل هایی که GPT را بازیابی  
می کنند، پیش بیرمیم؟ در جهتی متفاوت، آیا مدل های از پیش آموزش دیده  
می توانند اشکال ساختار فراتر از روابط نزدیکترین همسایه را منعکس کنند - به  
عنوان مثال، با استفاده از ملاحظات توبولوژیکی مرتبه بالاتر یا با تطبیق یکتابع  
فاصله به جای یک نمودار گستته؟ علاوه بر این، بررسی بیشتر تأثیر هدف  
الغا کننده ساختار بر مکانیسم های زیربنایی، همانطور که  
از طریق تکنیک های هوش مصنوعی قابل توضیح بررسی می شود، راهی  
نهیجان انگیز برای کارهای آینده خواهد بود. ما پیش بینی می کنیم که  
تجزیه و تحلیل بیشتر این سوالات و سایر سوالات منجر به روش های جدید  
PT شود و PT را قادر می سازد تا در حوزه های مختلف موفق باشد.

روش  
بيان های الگا کننده ساختار

اما از ار دست دادن چند شباهت 46 استفاده می کیم که با وزن جفت مثبت پارامتر می شود،  $+W$ ، وزن جفت منفی،  $-W$ ، و هایبریارامتر ثابت،  $T$ ، که در زیر آورده شده است:

$$\begin{aligned}
 & \text{LSI} \quad \frac{1}{\sum_{i=1}^n} = \frac{\text{ورود به}}{\sum_{j \in E} \text{ورود به}} e^{-W^{-(f_0(\mathbf{x}_i), f_{ij}(\mathbf{x}_i))}} \\
 & \quad \text{سيستم } (1) \quad \text{سيستم } (1) \\
 & \quad \frac{1}{\sum_{i \in F} \frac{1}{\sum_{j \in E} \text{ورود به}}} e^{-W^{-(f_0(\mathbf{x}_i), f_{ij}(\mathbf{x}_j))}}
 \end{aligned}$$

ما همچنین از یک ضرر تضادی که پس از نسخه در ref مدل شده است استفاده می‌کنیم.<sup>45</sup> برای این از دست دادن، فرض می‌کنیم نگاشت‌های بیر به ما داده می‌شود: "pos"، که  $x$  را به یک گره مثبت نگاشت می‌کند (یعنی در GPT به  $x$  مرتبط است)، و "neg"، که  $x$  را به یک گره منفی نگاشت می‌کند (یعنی در GPT به  $x$  مرتبط نیست). اتحاد یک مبنی دسته بزر B از  $\text{XB}$  و تصاویر آن تحت نگاشت‌های "pos" و "neg" یک مبنی بچ کامل را تشکیل می‌دهد. این ضرر با پارامترهای حاشیه مثبت و منفی  $\mu^+$  و  $\mu^-$  شرکت می‌نماید.

$$L^{(CL)} = \frac{1}{N} \sum_{i=1}^N \mu_i \delta(x_i - \bar{x})$$

شاما

وظیفه طبقه بندی برای پیش بینی دسته چین پروتئین (متریک: دقت): ساختار تانوبه (SS)، یک وظیفه طبقه بندی به ازای هر توکن برای پیش بینی خواص ساختاری اسید آمیمه (متریک: دقت): پایداری (ST) و فلورسانس (FL)، هر توالی، وظایف رگرسیون برای پیش بینی پایداری و فلورسانس (PL)، پروتئین، به ترتیب (متریک:  $\rho$  Spearman's): و پیش بینی تماس (CP)، یک وظیفه طبقه بندی درون توالی برای پیش بینی اینکه کدام حفت اسیدهای آمیمه در پروتئین در تماس هستند. ترکیب سه بعدی (متریک: دقت در 4/5 که ۱ طول پروتئین است). همه این وظایف از مجموعه داده های در دسترس عموم هستند که می توانند مستقیما در GitHub TAPE (<https://github.com/songlab-cal/tape#data>) به دست آیند، که هیچ مجوزی برای این مجموعه داده ها فهرست نمی کند، اگرچه GitHub کلی تحت مجوز 3 BSD بند "جدید" یا "تجدید نظر شده" منتشر شده است. RH مدلی را برای پیش بینی یک دسته چین پروتئین در سطح هر دنباله انجام می دهد. مجموعه داده این وظیفه شامل 718/736/12,312 پروتئین قطار/اعتبارستجی/آزمایش است و در اصل از ref [تغییر شده است.](#) **47** SS یک مسئله طبقه بندی چند بینی خواص ساختاری هر اسید آمیمه در پروتئین نهایی و تا شده انجام می دهد. مجموعه داده این وظیفه شامل 513/2,170/8,678 پروتئین قطار/اعتبارستجی/آزمایش است [تغییر شده است.](#)

ST مدلی را برای پیش بینی پایداری پروتئین در پاسخ به شرایط محیطی نجام می دهد. مجموعه داده این وظیفه شامل 12,839/2,447/53,679 پروتئین قطار/اعتبارسنجی/آزمایش است که در اصل از ref تهیه شده است.<sup>49</sup> FL به مدلی نیاز دارد تا پیش بینی کند که یک پروتئین چقدر درخشش می کند. مجموعه داده این وظیفه شامل 27,217/5,362/21,446 پروتئین قطار/اعتبارسنجی/آزمایش است و در اصل از ref تهیه شده است.<sup>50</sup> در نهایت، CP به مدلی نیاز دارد تا پیش بینی کند که آیا هر چفت آسید آمینه از یک پروتئین کمتر از 8 Å از هم فاصله دارند یا خیر. مجموعه داده این وظیفه از ProteinNet<sup>51</sup> تهیه شده است. در این آزمایشات، ما با مدل TAPE منتشر شده 5 مقابله می کنیم، که از یک وظیفه مدل سازی زیان به تنها ی به عنوان نقطه مقایسه هر نشانه استفاده می کند، و مدل نمایش توالی پروتئین آموخته شده با استفاده از اطلاعات ساختاری (PLUS)، که برای LM بهینه سازی می کند و طبقه بندی نظارت شده به طور مشترک برای مقایسه هر نمونه ما

## مجموعه‌ای از Abstracts و تیک‌های FT

ما از مجموعه داده ای از ~650,000 چکیده مقاله علمی متن داده گراف آکادمیک مایکروسافت (MAG) استفاده می‌کنیم. داده MAG (مجموعه داده PT Commons) دارای مجوز با انتساب هستند.

در اینجا، ما از زیرمجموعه‌ای از وظایف FT مورد استفاده در مقاله SciBERT<sup>53</sup> استفاده می‌کیم، از جمله فیلد کاغذی (PF)، SciCite (SC)، ACL-SciERC (SRE) و استخراج رابطه ARC (AA) همگی مسائل طبقه‌بندی هر جمله هستند (متیک: ماکرو- F1). مدل‌های وظایف PF برای پیش‌بینی حوزه مطالعاتی یک مقاله از عنوان آن، وظایف SC و AA هر دو برجسب "قصد" را برای استنادها پیش‌بینی می‌کنند و SRE یک کار استخراج رابطه است. تمام مجموعه داده‌های FT را می‌توان از SciBERT GitHub [/https://github.com/allenai](https://github.com/allenai))

این داده‌گیری را می‌توان از طریق <https://gildan.com/api/v1/> (scibert) که همچوی مجموعه برای خاصیت مجموعه داده را فهرست نمی‌کند، اما حداقل  $\sum(x_i \cdot pos_i)$  می‌تواند با توجه به عنوان آن پیش‌بینی کنند. مجموعه داده این وظیفه 2.0-ایجادی است.

موسسه فناوری Massachu-setts (MIT) را فهرست می کند. دو پروتئین در GPT برای این مجموعه داده مرتبط هستند، اگر و تنها در صورتی که در ادبیات علمی برای تعامل مستند شده باشند، با توجه به مجموعه داده های تعامل درخت زندگی. این یک نمودار دانش خارجی است.

## مجموعه داده بروتئین ها و تنسک های FT

ما از مجموعه داده ای از ۱.۵ میلیون توالی پروتئینی از مجموعه داده درخت زندگی استفاده نموده‌ایم.<sup>20</sup> <https://snap.stanford.edu/tree-of-life/data.htm>

جملات قطار/اعتبارستجی/تست اگرچه مجموعه داده اصلی از <sup>21</sup> MAG شده است، اما توسط SciBERT به طور مستقیم 53 در این قالب کار فرموله شده است. وظیفه SC مدل ها را برای پیش بینی برچسب "قصد" برای جملاتی که به سایر آثار علمی در مقالات دانشگاهی استناد می کنند، به چالش می کشد. مجموعه داده این وظیفه شامل 1,861/916/7,320 جمله قطار/اعتبارستجی/تست است و در اصل از ref تهیه شده است. <sup>54</sup> وظیفه AA به مدل هایی نیاز دارد تا برچسب "قصد" را برای جملاتی که به سایر آثار علمی در مقالات دانشگاهی استناد می کنند، پیش بینی کند، پیش بینی کند. مجموعه داده این وظیفه شامل 139/114/1,688 train/validation/test جمله است و در اصل از ref تهیه شده است. <sup>55</sup>

ما با مدل منتشر شده SciBERT<sup>53</sup> به عنوان مقایسه هر نشانه و مدل BioLinkBERT<sup>56</sup> را به عنوان مقایسه هر نونه مقایسه می کیم. مدل سازی زبان را با یک وظیفه BioLinkBERT clas-sification تقویت می کند تا پیش بینی کند که آیا متن ورودی از دو سند از یک سند، اسناد پیوندی (که در آن پیوند وجود دارد) تشکیل شده است یا خیر.

شود. به این ترتیب، توجه داشته باشد که ما  $\lambda SI$  را به گونه‌ای انتخاب می‌کنیم که inde

از طریق نمودار استناد تعیین می‌شود) یا استناد پیوند نشده. به این ترتیب، از اطلاعات مشابهی استفاده می‌کند که برای ساخت نمودار PT ما استفاده می‌شود، اما از طریق از دست دادن طبقه بندی تک وظیفه به جای تلفات کلی تر القا کننده ساختار که در اینجا استفاده می‌کیم. اخیرا، مدل‌های زبان پایه موفق تری فراز از مدل SciBERT (مانند PubMedBERT<sup>57</sup>) پیشنهاد شده‌اند و تغییر به استفاده از آنها برای مقداردهی اولیه مدل‌های SIPT ما در روش‌های شروع گرم احتمالاً عملکرد را در همه مدل‌ها بهبود می‌بخشد. با این حال، با توجه به هزینه محاسباتی مدل PT، ما استفاده از SciBERT را برای مدل اولیه سازی خود حفظ می‌کنیم (و بر این اساس برای خط پایه هر توکن مربوطه) و بررسی PubMedBERT را برای کارهای آینده واگذار می‌کنیم.

### مجموعه داده شبکه‌ها و تسك‌های FT

ما در اینجا از مجموعه داده ای از ~70,000 شبکه ایگو PPI استفاده می‌کنیم که از ref تهیه شده است.

<sup>26</sup>. هر نمونه در اینجا یک پروتئین واحد را توصیف می‌کند که به عنوان یک شبکه بیولوژیکی (یعنی یک نمودار منتنسب) مربوط به شبکه ایگو در مورد آن پروتئین (یعنی یک زیرگراف کوچک حاوی تمام گره‌های پروتئین هدف) در یک نمودار PPI گسترده‌تر تحقق می‌یابد. برخلاف سایر دامنه‌های ما، این دامنه حاوی دنباله نیست. مجموعه داده Networks PT فایل‌های کد و مجموعه داده خود را تحت مجوز MIT منتشر می‌کند.

این مجموعه داده با حضور یا عدم وجود هر یک از 4,000 اصطلاح هستی‌شناسی ژن پروتئین مرتبط با پروتئین مرکزی در هر شبکه ایگو PPI برجسب گذاری شده است. با استفاده از این برجسب‌ها، دو شبکه ایگو PPI در GPT به هم متصل می‌شوند اگر و تنها در صورتی که فاصله همینگ بین بردارهای برجسب مشاهده شده آنها بیش از نه نباشد. این یک نمودار نزدیک ترین همسایه با نمایش جایگزین است.

ما فقط یک کار FT را در این محیط مطالعه می‌کنیم، که طبقه بندی با این‌ری چند برجسبی 40 حاشیه نویسی اصطلاح (متربیک: Gene Ontology) منطقه‌ماکرو زیر منحنی مشخصه عملکرد گیرنده (AUROC) است که در ref استفاده می‌شود. <sup>26</sup> ما از مجموعه PT برای آموزش FT استفاده می‌کنیم و مدل را بر روی یک تقسیم تصادفی 10٪ ارزیابی می‌کنیم. ما با هر دو PT تحت نظرارت 26 ویژگی و PT تحت نظرارت چند وظیفه مقایسه می‌کنیم.

### راه اندازی آزمایشی

برای به حداقل رساندن بار محاسباتی، ما یک مدل القا کننده ساختار را از ابتدا برای مجموعه داده‌های پروتئین‌ها و چکیده‌ها از قبیل آموزش نمی‌دهیم. در عوض، ما یک مدل را مستقیماً از خط پایه هر توکن مقداردهی اولیه می‌کنیم، سپس PT اضافی را تنها برای تعداد کمی از دوره‌ها تحت زیرمجموعه ضرر SIPT انجام می‌دهیم. ما هر دو واریانت LSI چند شباهت و کنتراست را در این حوزه‌ها ارزیابی می‌کنیم. در مجموعه داده Networks، ما همه مدل‌ها (از جمله خطوط پایه) را از ابتدا آموزش می‌دهیم و بر اساس نتایج تجربی اولیه، فقط نوع ضرر تضادی را ارزیابی می‌کنیم.

### تجزیه و تحلیل فرسایش

توجه داشته باشد که روش شروع گرم که در بالا در حوزه‌های پروتئین‌ها و چکیده‌ها توضیح داده شد، امکان یک مطالعه فرسایش قدرتمند را فراهم می‌کند: علاوه بر این، با آموزش یک مدل PT از خط پایه هر توکن با  $\lambda SI = 0$ ، می‌توانیم به طور منحصر به فرد تأثیر اصطلاح ضرر جدید را ارزیابی کنیم، به جای آموزش اضافی یا مجموعه داده‌های مختلف PT. ما این مطالعه فرسایش را برای همه مجموعه داده‌های مرتبط انجام می‌دهیم. برای مجموعه داده Networks، با توجه به اینکه همه مدل‌ها از ابتدا با همان روش‌های توقف زودهنگام آموزش دیده‌اند، نیازی به مطالعه دیگری برای ارزیابی تأثیر مدت از دست دادن نیست.

### انتخاب پارامتر مدل $\lambda SI$

برای مجموعه داده‌های پروتئین‌ها و چکیده‌ها، برای انتخاب مقدار بهینه  $\lambda SI$  برای استفاده در زمان PT، چندین مدل را از قبیل آموزش دادیم و اثربخشی آنها را در یک کار بازیابی پیوند بر روی GPT =  $\lambda SI / E$  ارزیابی کردیم. به طور خاص، ما با جاسازی همه گره‌های  $V$  به عنوان  $\lambda SI$  یک گره جاسازی شده را به دست می‌آوریم، سپس تمام گره‌های دیگر  $V'$  را با فاصله اقلیدسی بین  $(V, V')$  و  $(V, E)$  رتبه بندی می‌کنیم، و این لیست رتبه بندی شده را از طریق دقت میانگین رتبه بندی برجسب، سود تجمعی تخفیف نرمال شده، دقت متوسط و میانگین رتبه متقابل ارزیابی کنید، جایی که یک گره  $V'$  به عنوان یک بازیابی "موفق" برای  $E \in \{n, n\}$  در نظر گرفته می‌شود.

معلم وظیفه FT است و می تواند صرفا بر اساس داده های PT تعیین شود. نتایج نهایی برای این آزمایش ها در جدول داده های توسعه یافته 5 برای مجموعه داده پروتئین ها و جدول داده های توسعه یافته 6 برای مقالات علمی نشان داده شده است. در نهایت، این فرآیند نشان می دهد که  $ASL 0.1$  یک تنظیم قوی است و به این ترتیب، 0.1 به طور مستقیم برای وظیفه شبکه ها بدون بهینه سازی بیشتر استفاده شده است.

### معماری مدل و سایر پارامترهای مدل

معماری رمزگذارهای ما برای حوزه های پروتئین ها و چکیده ها به طور کامل از مدل های منبع ما در TAPE<sup>5</sup> و ScIBERT<sup>53</sup> تعیین شده است. به طور خاص، برای پروتئین ها و مقالات علمی، ما از یک ترانسفورماتور 12 لایه با اندازه پنهان 768، اندازه متوسط 3072 و 12 سر توجه استفاده می کیم. توکنایزرهای ارائه شده SciBERT و TAPE نیز استفاده می شود. یک لایه خطی واحد به ابعاد خروجی هر کار به عنوان سر پیش بینی استفاده می شود و خروجی توکن [CLS] لایه نهایی را به عنوان یک جاسازی دنباله کامل به عنوان ورودی در نظر می گیرد. ما همچنین PT را برای یک یا چهار دوره اضافی بر اساس عملکرد مجموعه اعتبارسنجی آزمایش کردیم، ما در نهایت از یک دوره برای پروتئین ها و چهار دوره برای مقالات علمی استفاده کردیم. برای دامنه شبکه ها، ما معماری مورد استفاده در منبع اصلی<sup>26</sup> را برای اجرای مدل ماسک مطابقت می دهیم، آن را برای کارایی محاسباتی ذخیره می کیم، اندازه دسته را تا حد امکان افزایش می دهیم، سپس به تناسب نرخ یادگیری را افزایش می دهیم تا اندازه دسته بزرگتر را در نظر بگیریم. این مربوط به اندازه دسته ای 1024، نرخ یادگیری 0.01، یک شبکه عصبی انقلابی گراف (GCNN) با رمزگذار شبکه ایزومورفیسم گراف (GIN)، تعییه ابعاد 5، 5 لایه، 10٪ افت، تجمعی میانگین و استراتژی ترکیب ویزگی گره (JK) "آخرین" است.

فرایاپارامترهای FT (نرخ یادگیری، اندازه دسته و تعداد دوره ها) بر اساس ترکیبی از نتایج موجود، تنظیم فرایاپارامترها و محدودیت های ماشین تعیین شد. در پروتئین ها، اکثر اپریاپارامترها به گونه ای تنظیم شدند که از موارد گزارش شده برای مدل LM در ref<sup>47</sup> پیروی کنند. 58، اگرچه جستجوهای هایپریاپارامتر محدود اضافی برای تأیید کافی بودن این انتخاب ها انجام شد. از آنجایی که منبع اصلی این فرایاپارامترها یک مدل LM PT بود، هر گونه تعصب در اینجا باید علیه SIPT باشد، به این معنی که این یک انتخاب محافظه کارانه است. توقف زودهنگام (بر اساس تعداد دوره ها بدون مشاهده بهبود در عملکرد مجموعه اعتبارسنجی) استفاده شد و اندازه دسته تا حد امکان با در نظر گرفتن ماشین زیرین تنظیم شد. برای بازتولید PLUS، فرایاپارامترهای مشابه با اپریاپارامترهای PLUS گزارش شده را برای سایر وظایف و مشابه فرایاپارامترهای خود برای سایر وظایف مقایسه کردیم و از پارامترهایی استفاده کردیم که بهترین عملکرد را در مجموعه اعتبارسنجی داشتند. برای مقالات علمی، ما یک جستجوی شبکه ای را برای بهینه سازی عملکرد وظایف پایین دستی در مجموعه اعتبارسنجی انجام دادیم، با نرخ یادگیری بین 5  $\times 10^{-6}$  و  $5 \times 10^{-5}$  و تعداد دوره ها بین 2 تا 5. همان جستجوی شبکه ای در روش اصلی ScIBERT استفاده شد. علاوه بر این، ما با استفاده از بهینه ساز Adam با گرم کردن و پوسیدگی خطی، اندازه دسته ای 32 و بدون توقف زودهنگام، معیار ScIBERT را مطابقت می دهیم. برای شبکه ها، فرایاپارامترهای FT دوباره برای مطابقت با مدل منبع اصلی 26 انتخاب شدند تا از افزایش اندازه دسته ای و نرخ یادگیری صرفه جویی شود. هیچ جستجوی فرایاپارامتر اضافی انجام نشد.

فرایاپارامترهای نهایی برای هر کار پایین دستی در جدول داده های توسعه یافته 1 برای پروتئین ها و جدول داده های توسعه یافته 2 برای مقالات علمی نشان داده شده است.

### پیاده سازی و محاسبات محیط

ما از PyTorch برای پایکا کد خود استفاده می کیم. FT Experiments و Networks PT بر روی ماشین های مختلف اپیونتو (نسخه های مختلف Network PT) با واحد های پردازش گرافیکی مختلف NVIDIA اجرا شد. پروتئین ها و چکیده ها اجرای PT بر روی یک سیستم 9 Power انجام شد که هر کدام با استفاده از 4 واحد پردازش گرافیکی 32 NVIDIA گیگابایتی V100 با InfiniBand با نصف دقت اجرا شدند.

### مرور سیستماتیک روش های PT

مقالات از طریق جست وجوی دستی در NLP و NLP مشتق شده انتخاب شدند

روش های PT (یعنی روش هایی که عمدتاً بر حوزه های دیگر یا دامنه های چند جوهری متمرکز شده اند) از طریق Google Scholar و با خرید از طریق منابع مقالاتی که قبلاً گنجانده شده اند، حذف شدند. تعداد استنادات برای هر اثر از طریق Google Scholar در 2 آگوست 2022 به دست آمد. تاریخ انتشار (که برای محاسبه استنادها در ماه از تاریخ انتشار استفاده می شود) به عنوان زودتر از (1) تاریخ انتشار خاص مجله مقاله یا (2) اولین تاریخ ارسال به پلتفرم arXiv یا bioRxiv یا گمانه زن کنفرانس مشارک بین المللی شده است. یک بررسی دستی برای طبقه بندی نوحوه محدود شده است، محاسبه شد. یک بررسی دستی برای طبقه بندی نوحوه محدود کردن روش های PT هندسه فضای پنهان و اختصاص امتیازات محورهای ذهنی، عددی "کم عمق-عمیق" و "صریح-ضمیمی" انجام شد. در مجموع، بیش از 90 روش مورد بررسی قرار گرفت که 74 مورد از آنها برای گنجاندن در نتایج بررسی عددی مناسب بودند (شکل داده های توسعه یافته 1). اطلاعات تکمیلی تمام روش های در نظر گرفته شده را خلاصه و دسته بندی می کند (و دلایل خروج آورده شده است). توجه داشته باشید که چارچوب ما بر روی روش های PT مشتق شده از NLP تمرکز دارد، اما ما روش PT مولد متمرکز بر توزیع های پیوسته با ابعاد بالا، مانند مدل های انتشار<sup>59</sup> را بررسی نمی کنیم. با این حال، این روش ها در حوزه های دیگر مانند بینایی کامپیوتر موقوف بوده اند.

## در دسترس بودن داده ها

مجموعه داده های مصنوعی و اشاره گرهای ما به مجموعه داده های دنیای واقعی در آموزش <https://github.com/mmcdermott/> به صورت عمومی در دسترس هستند.

## در دسترس بودن کد

پیاده سازی روش توسعه یافته و مورد استفاده در مطالعه در پایتون از طریق وب سایت پژوهه به آدرس <https://zitniklab.hms.harvard.edu/projects/SIPT> کد بازتویید نتایج، مستند سازی و نمونه های استفاده در آموزش <https://github.com/mmcdermott/> به صورت عمومی در دسترس است.

## مراجع

1. Liu, X., He, P., Chen, W. & Gao, J. 11. شبکه های عصبی عمیق چند وظیفه ای برای درک زبان طبیعی. در *مجموعه مقالات پنجه و هفتمین نشست سالانه انجمن زبان شناسی محاسباتی* (ویراستاران 4487-4496 Korhonen, A. et al.). (ACL, 2019).
2. Giorgi, J., Nitski, O., Wang, B. & Bader, G. DeCLUTR 12. عمیق برای بازنایی های متند بدون نظارت. در *پنجه و هفتمین نشست سالانه انجمن زبان شناسی محاسباتی و بازدهی کنفرانس مشارک بین المللی بردازش زبان طبیعی* جلد 1, 895-879 (انجمن زبان شناسی محاسباتی, 2021).
3. Kung, L. 13. و همکاران. دیدگاه پیشینه سازی اطلاعات متقابل یادگیری بازنایی زبان. در *کنفرانس بین المللی بازنایی های یادگیری* (2020).
4. Tetko, I. V., Karpov, P., Bruno, E., Kimber, T. B. & Godin, G. 14. ثابت چیزی است که شما نیاز دارید! در *کنفرانس بین المللی شبکه های عصبی مصنوعی* 835-831 (اسپرینگر, 2019).
5. Karpov, P., Godin, G. & Tetko, I. V. 15. Transformer-CNN: چاقوی: *QSAR. J. Cheminform.* 12, 1-12 (سوسیسی برای مدل سازی و تفسیر (2020).
6. Tetko, I. V., Karpov, P., Van Deursen, R. & Godin, G. 16. ترانسفورماتور NLP تقویت شده پیشنهاد برای رترورستر مستقیم و تک مرحله ای. *Nat. Commun.* 11, 1-11 (2020).
7. Schwallier, P. et al. 17. شیمیایی کالبیره شده با عدم قطبیت. سنت (ACS. Sci. 5, 1572-1583 (2019).
8. Wu, Z. 18. و همکاران: یادگیری تقابلی برای بازنایی جمله. پیش چاپ در <https://arxiv.org/abs/2012.15466> (در (2020).
9. Meng, D. 19. و همکاران COCO-LM: تصحیح و تصادف توالی های متند برای پیش چاپ در آموزش مدل زبان. در *Adv. Neural Inf. Process. Syst.* 34, 23114-23102 (Curran Associates, 2021).
10. Zitnik, M., Sosić, R., Feldman, M. W. & Leskovec, J. 20. پیغایی در تعاملات پرووتینی در سراسر درخت زندگی. *Proc. Natl Acad. Sci.* 116, 4433-4426 (2019).
11. Wang, K. 21. و همکاران. موروری بر خدمات آکادمیک مایکروسافت برای مطالعات علمی علوم انسانی. *JLNL* 2 (2019).
12. Hu, W. 22. و همکاران معیار نمودار باز: مجموعه داده های برای یادگیری ماشین در نمودارها. در *پیشرفت در سیستم های پردازش اطلاعات عصبی* 33, 22133-22118 (NEURIPS, 2020).
13. Fang, Y. et al. 23. یادگیری نمودار مولکولی کتراستیو آگاه از دانش. پیش چاپ در <https://arxiv.org/abs/2103.13047> (2021).
14. Sanh, V. 24. و همکاران آموزش چند وظیفه ای تعیین و طایف بدون شات را امکان پذیر می کند. در *کنفرانس بین المللی بازنایی های یادگیری* (2021).
15. Rives, A. et al. 25. ساختار و عملکرد بیولوژیکی از مقیاس بندی یادگیری بدون نظارت تا 250 میلیون توالی پرووتینی پیدار می شود. *Proc. Natl Acad. Sci.* 118, e2016239118 (2021).
16. هو, Dibelli و همکاران. استراتژی های پیش آموزش شبکه های عصبی گراف. در *ICLR* (2020).
17. Mc Dermott, A. 26. و همکاران. یک معیار جامع سری زمانی قل از آموزش CHIL 21257-278 ( ACM, 2021).
18. Rano, A. 27. و همکاران. در مجموعه مقالات کنفرانس سلامت، استنباط و یادگیری، ( ACM, 2021).
19. Rano, A. 28. و همکاران ترانسفورماتور MSA. در *PROC. سی و هشتمین کنفرانس بین المللی یادگیری ماشین*, Proc. تحقیقات یادگیری ماشین, جلد 139 (ویراستاران Meila, M. & Zhang, T.) 8844-8856 (PMLR, 2021).
20. Saunshi, N., Plevrakis, O., Arora, S., Khodak, M. & Khandeparkar, H. 29. تحلیل نظری یادگیری بازنایی بدون نظارت تصادی. در *مجموعه مقالات سی و ششمین کنفرانس بین المللی یادگیری ماشین*, جلد 97 (ویراستاران Chaudhuri, K. & Salakhutdinov, R.) 5628-5637 (PMLR, 2019).
21. لوین, D. 30. و همکاران. سوگیری استقرایی یادگیری درون زمینه: بازنایی شده در طراحی مثال پیش آموزش. در *کنفرانس بین المللی بازنایی های یادگیری* (2022).

- 3.1 . Radford, A. et al. مدل های زبانی یادگیرندها چند وظیفه ای بدون ناظارت هستند. *OpenAI* 1, 9 (2019).
- 3.2 . Ribeiro, D. N. & Forbus, K. ترکیب فیاس با مدل های زبانی برای استخراج دانش. در سومین کنفرانس ساخت خودکار پایگاه دانش (1400).
- 3.3 . Wang, X. et al. KEPLER: یک مدل یکارچه برای جاسازی دانش و بازنمایی زبان از پیش آموزش دیده. *Assoc. Comput. Linguistics*. زبان شناسی. 9, 194-176 (2021).
- 3.4 . Jiang, X., Liang, Y., Chen, W. & Duan, N. XLM-K: بهبود پیش آموزش مدل زبان بین زبانی با چند زبانه. در *Proc. 36th AAAI* جلد 36, 10840-10848 (2022).
- 3.5 . Guo, Y. et al. Webformer: پیش آموزش با صفحات وب برای بازیابی اطلاعات. در *Proc. 15th ACM SIGIR* ACM در مورد تحقیق و توسعه در بازیابی اطلاعات (1512-1502) (ACM, 2022).
- 3.6 . گانو، H. و هوانگ، H. تعبیه شبکه عمیق منسوب. در فرآیندهای پیست و هفتمین کنفرانس مشترک بین المللی هوش مصنوعی (انشارات ، AAAI 2018).
- 3.7 . Cui, G., Zhou, J., Yang, C. & Liu, Z. چهل و پنجمین کنفرانس بین المللی کشف دانش و داده کاوی (ACM, 2020) 985-976.
- 3.8 . Li, Y., Sha, C., Huang, X. & Zhang, Y. نمودارهای منتسب شده: یک رویکرد جاسازی. در *Proc. 32nd AAAI* جلد 32 (2018).
- 3.9 . Li, M. M., Huang, K. & Zitnik, M. شناسی و پژوهشی: پیشرفت ها، چالش ها و فرصت ها. پیش چاپ در <https://arxiv.org/abs/2104.04883> (2021).
- 4.0 . Kipf, T. N. & Welling, M. نمودارهای بزرگ. طبقه بندی نیمه ناظارت شده با شبکه های کانولوشنی (ویراستاران ، 1025-1035). و هکاران (2017).
- 4.1 . Hamilton, W., Ying, Z. & Leskovec, J. استقرایی در سیستم های پردازش اطلاعات عصبی، جلد 30 (ویراستاران ، 2017).
- 4.2 . Vert, J.-P. & Yamamoto, Y. استنتاج گراف تحت ناظارت. در پیشرفت در سیستم های پردازش اطلاعات عصبی ، جلد 17 (ویراستاران ، Saul. Saul. و هکاران ) (MIT Press ، 2004).
- 4.3 . Shaw, B. & Jebara, T. ساختار حفظ جاسازی در مجموعه مقالات پیست و شصتمنی کنفرانس بین المللی سالانه یادگیری ماشین، ICML '09 (ACM ، 2009).
- 4.4 . Shaw, B., Huang, B. & Jebara, T. یادگیری یک متريک از راه دور از شبکه. در پیشرفت در سیستم های پردازش اطلاعات عصبی ، جلد 24 (ویراستاران ، Curran Associates ، 2011).
- 4.5 . Hadsell, R., Chopra, S. & LeCun, Y. IEEE Computer 2006 برداری ثابت. در سال IEEE Computer 2006 (CVPR'06) ، جلد 2. کنفرانس جامعه بینایی کامپیوتر و تشخیص الگو (CVPR'06) ، جلد 2. (2006) 1742-1735.
- 4.6 . وانگ، ایکس، هان، ایکس، هوانگ، دبلیو، دونگ، دی و اسکات ، آر. از دست دادن چند شباهت با وزن دهنی چفتی عمومی برای یادگیری عمیق متريک. در کنفرانس IEEE در مورد بینایی کامپیوتر و تشخیص الگو، CVPR 2019 5022-5030 (بنیاد بینایی کامپیوتر / IEEE ، 2019).
- 4.7 . Hou, J., Adhikari, B. & Cheng, J. DeepSF: شبکه عصبی کانولوشن عمیق برای نقشه برداری از توالی های پروتئینی به چین ها. بیو/انفورماتیک 34 ، 1303-1295 (2018).
- 4.8 . Klausen, M. S. et al. NetSurfP-2.0: بهبود پیش بینی ویژگی های ساختاری پروتئین با یادگیری عمیق یکارچه. پروتئین ها 87 ، 527-520 (2019).
- 4.9 . Rocklin, G. J. et al. تجزیه و تحلیل جهانی تاشو پروتئین با استفاده از طراحی، سنتز و آزمایش مواد انبویه. علم پایه 357 ، 175-168 (2017).
- 5.0 . Sarkisyan, K. S. et al. چشم انداز تناسب اندام محلی پروتئین فلورسنت سیز. طبیعت 533 ، 401-397 (2016).
- 5.1 . AIQuraishi, M. ProteinNet: یک مجموعه داده استاندارد برای یادگیری ماشین ساختار پروتئین. BMC Bioinform. 20, 1-10 (2019).
- 5.2 . Min, S., Park, S., Kim, S., Choi, H.-S. & Yoon, S. پیش آموزش نمایش توالي پروتئین دو طرفه عمیق با اطلاعات ساختاری. سترسی- IEEE 9, 123912 (2021) 123926.
- 5.3 . Beltagy, I., Lo, K. & Cohan, A. SciBERT: یک مدل زبانی از پیش آموزش پدیده برای متن علمی. در مجموعه مقالات کنفرانس 2019 روشن های تجربی در پردازش زبان طبیعی و نهمنین کنفرانس بین المللی مشترک پردازش زبان طبیعی (EMNLP-IJCNLP) 3615-3620 (ACL, 2019).
- 5.4 . Cohan, A., Ammar, W., van Zuylen, M. & Cady, F. ساختاری برای طبقه بندی قصد استناد در نشریات علمی. در مجموعه مقالات کنفرانس 2019 بخش امریکای شمالی انجمن زبان شناسی محاسباتی: فناوری های زبان انسانی، جلد 1 (مقالات بلند و کوتاه) 1 (ACL, 2019) 3596-3586.
- 5.5 . Jurgens, D., Kumar, S., Hoover, R., McFarland, D. & Jurafsky, D. اندازه گیری نکامل یک رشته علمی از طریق جارچوی های استناد. ترجمه. احتجاجات. زبان شناسی. 6 ، 391-406 (2018).
- 5.6 . Yasunaga, M., Leskovec, J. & Liang, P. LinkBERT: مدل های زبان پیش آموزش با پیوندهای سند. در: *Proc. شصتمنی نشست سالانه انجمن زبان شناسی محاسباتی* جلد 1 ، 8016-8003 (انجمن زبان شناسی محاسباتی، 2022).
- 5.7 . Gu, Y. و هکاران مدل زبان خاص دامنه پیش آموزش برای پردازش زبان طبیعی زیست پژوهشی. ACM Trans. Comput. سلامت 1 ، 1-23 (2021).
- 5.8 . مک درموت ، م. ، یاپ ، ب. ، هسو ، اچ ، جین ، دی و سولوپیس ، پ. خصممه پیش آموزش کنتراستیک برای توالی های پروتئینی. پیش چاپ در <https://arxiv.org/abs/2102.00466> (2021).
- 5.9 . رامش ، M. ، Dhariwal, P. ، Nichol, A. ، Chu, C. & Chen, M. تصویر شرطی متن سلسله مرآتی با نهفته کلیپ. پیش چاپ در <https://arxiv.org/abs/2204.06125> (2022).

## تقدیر و تشکر

MBAM تا حدی توسعه LM013337 کمک هزینه مؤسسه ملی بهداشت (NIH) و یک توافق نامه تحقیقاتی مشترک با IBM پشتیبانی شد. و همچنین توسط دانشکده پژوهشی هاروارد گروه افزورماتیک زیست پژوهشی برکوویتز فلوشیپ فوق دکتری. BY توسط صندوق فرست های تحقیقاتی در مقطع کارشناسی موسسه فناوری ماساچوست (MIT) NIH R01HD108794 ، M.Z. با سپاسگزاری از حمایت FA8702- شماره قرارداد نیروی هوایی ایالات متحده قدردانی می کند. -D-0001-15 ، و جوازی از ابتکار علوم داده هاروارد، تحقیقات دانشکده آمازون، Google Research Scholar، Bayer Early Excellence in Science، Roche Alliance with Universities AstraZeneca Research نظرات، یافته ها، نتیجه گیری ها یا توصیه های بیان شده در این مطالب متعلق به نویسندها است و لزوماً معنکس کننده دیدگاه های سرمایه گذاران نیست.

## مشارکت های نویسنده

M.B.A.M و BY مجموعه داده ها را جمع آوری کردند، کد مدل سازی را نوشتند و آزمایش هایی را انجام دادند. M.B.A.M. نتایج نهایی را گردآوری کرد و بررسی مطالعات پیش از آموزش موجود را تکمیل کرد. M.B.A.M. ، M.Z. و P.S.

مطالعه را تصور کرد و چارچوب کار را شکل داد. M.Z و PS و M.B.A.M در طول پژوهش ارائه دادند. M.B.A.M. و M.Z. مطالعه نهایی را نوشتند. M.B.A.M. ، B.Y. ، P.S. و M.Z. در ویرایش پیش نویس ها مشارکت داشتند.

## تعارض منافع

نویسندها هیچ تعارض منافع را اعلام نمی کنند.

## اطلاعات اضافی:

داده های توسعه یافته برای این مقاله در <https://doi.org/10.1038/s42256-023-00647-z> در دسترس است.

اطلاعات تکمیلی نسخه آنلاین حاوی مطالب تکمیلی موجود در به نویسنده(های) اصلی و منبع بدھید، پیوندی به مجوز Creative Commons ارائه دهد و مشخص کنید که آیا تغییراتی ایجاد شده است

مکاتبات و درخواست های مواد باید به مارینکا زیتیک ارسال شود.

اطلاعات تجدید چاپ و مجوزها در [www.nature.com/reprints](http://www.nature.com/reprints) موجود است.

یادداشت ناشر: Springer Nature در رابطه با ادعاهای قضایی در نقشه های منتشر شده و وابستگی های نهادی بی طرف باقی می ماند.

Creative Commons Attribution 4.0 International License دسترسی آزاد این مقاله تحت مجوز اجازه استفاده، اشتراک گذاری و

اقتباس، توزیع و تکثیر در هر رسانه یا قالب، تا زمانی که اعتبار مناسبی Creative Commons ارائه دهد و مشخص کنید که آیا تغییراتی ایجاد شده است یا خیر. تصاویر یا سایر مطالب شخص ثالث در این مقاله در مجوز Creative Commons اعتباری مطالب خلاف آن ذکر شده باشد. اگر مطالبی در مجوز Creative Commons مقاله گنجانده نشده باشد و استفاده مورد نظر شما توسط مقررات قانونی مجاز نباشد یا از استفاده مجاز فراتر رود، باید مستقیماً از دارنده حق نسخه برداری مجوز بگیرید. برای مشاهده یک کپی از این مجوز، به <http://creativecommons.org/licenses/by/4.0/> مراجعه کنید.

© نویسنده‌گان: 1402

Implicit

Explicit

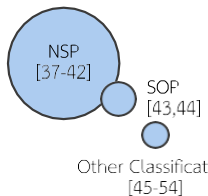
Deep [Unsupervised Autoencoding/Clustering  
[55,56]]

Shallow

Contrastive Sentence Embeddings  
[57-70]

S-I      D-I

S-E      D-E



**S-I:** Per-sample embeddings are not constrained during pre-training at all.

**S-E:** Per-sample embeddings are constrained via self- or fully supervised classification objectives

**D-E:** Per-sample embeddings are constrained via alignment to whole-sample graph alignment

**D-I:** Per-sample embeddings are constrained via an auxiliary pre-training graph

Whole-sample Graph Alignment  
[71-74]

**داده های توسعه یافته شکل 1 | روش های موجود پیش آموزش (PT).**  
خلاصه ای از 74 روش بردازش زبان طبیعی (NLP) و PT مشتق شده از NLP، بر اساس نحوه اعمال محدودیت های ساختاری به خوشه ها طبقه بندی می شوند.  
روی فضای تهقهقهه PT (در هر نمونه)، خوشه ها از طریق قضاوت دستی در مورد اینکه آیا محدودیت تحمیل شده کم عمق در مقابل عمیق و ضمنی در مقابل صریح است، بر روی محورها مرتب می شوند. اندازه خوشه ها به گونه ای است که مساحت مربوط به تعداد باشد  
از روش های استنادی موجود در آن خوشه به طور متوسط در هر ماه از زمان اولین انتشار، با توجه به تعداد استنادات Google Scholar دریافت کرده اند.

"هیجکدام" مدل هایی را ثبت می کند که از ضرر قلی از آموزش نسبت به جاسازی هر نمونه استفاده نمی کنند. "NSP" به "پیش بینی جمله بعدی" اشاره دارد، وظیفه PT به ازای هر نمونه معرفی شده در BERT<sup>1</sup>. "SOP" به "پیش بینی ترتیب جمله" اشاره دارد، وظیفه PT برای هر نمونه معرفی شده در ALBERT<sup>10</sup>. توجه داشته باشید که در مجموع بیش از 90 مطالعه در مورد ما در نظر گرفته شدند، اما فقط 74 مطالعه معیارهای ورود را برای ورود به این رقم داشتند. این روش ها باجزئیات بیشتری در اطلاعات تکمیلی شرح داده شده است.

جدول داده های توسعه یافته 1 | فرایانترهای نهایی برای دامنه پروتئین ها

وطفیه	اندازه دسته ای	Lr
همسانی از راه دور	16	1E-5
فلورسانس	128	5e-5
ثبات	512	1e-4
ساختار ثانویه	16	1E-5

فرایانترهای نهایی برای حوزه پروتئین هاک ما. همه وظایف از 200 دوره در مجموع استفاده کردند و پس از 25 دوره بدون بهبود مجموعه اعتبارسنجی، توقف زدهنگام انجام شدند. LR، نرخ یادگیری.

## جدول داده های توسعه یافته 2 | فرآیندر امترهای نهایی برای مجموعه داده UMBRELLAS

وظیفه	تعداد دوره ها	LR
زمینه مقاله	2	5e-5
ACL-ARC	5/4	5e-5
SciCite	2/3	1E-5

فرآیندر امترهای نهایی برای مجموعه داده جکیده های ما، همه مدل ها از اندازه دسته ای 32 و بدون توقف زودهنگام برای مطابقت با کاغذ اصلی SciBERT<sup>53</sup> استفاده می کردند. LR، نرخ یادگیری. [هایبریارامتر LM PT] / [هایبریارامتر SIPT]

## جدول داده های توسعه یافته 3 | نتایج برای حوزه پروتئین ها

مدل	Rh	Fl	خیابان	Ss	Cp
نوار	%21	<b>0.68</b>	0.73	%73	0.32
پلاس	$1.7 \pm \%19.8$	0.63	0.76	%73	N / A
آل ام پی تی	$1.1 \pm \%23.8$	$0.00 \pm 0.67$	$0.02 \pm 0.76$	$0.0 \pm \%73.9$	0.38
سیبیت-سی	$0.6 \pm \%25.1$	<b>0.00 ± 0.68</b>	<b>0.01 ± 0.77</b>	$0.0 \pm \%73.9$	0.38
SIPT-M	<b>1.0 ± \%26.6</b>	<b>0.00 ± 0.68</b>	0.01 ± 0.76	<b>0.1 ± \%74.2</b>	<b>0.39</b>

نتایج نراسفورمانور<sup>5</sup> TAPE ، نراسفورمانور PLUS<sup>52</sup> (" : اداره گیری های ما) ، خط پایه LM و دو نوع SIPT ("C-" نشان دهنده او دست دادن کنتراستیکی ، "M-" از دست دادن چند شاهدت است)، بالاتر بهتر است و بهترین نتایج در هر کار پرزنگ هستند.

جدول داده های توسعه یافته 4 | نتایج برای دامنه چکیده ها

مدل	Pf	Sc	Aa	SRE
SciBERT	<b>0.66</b>	0.85	0.71	0.80
BioLinkBERT	<b>0.0 ± 0.66</b>	<b>0.01 ± 0.86</b>	0.04 ± 0.73	<b>0.02 ± 0.82</b>
آل ام پی تی	<b>0.0 ± 0.66</b>	0.01 ± 0.85	0.05 ± 0.70	0.01 ± 0.80
سپیت-اسی	<b>0.0 ± 0.66</b>	<b>0.01 ± 0.86</b>	<b>0.02 ± 0.76</b>	0.00 ± 0.81
SIPT-M	<b>0.0 ± 0.66</b>	0.00 ± 0.85	0.05 ± 0.73	N / A

نتایج مدل اصلی SciBERT<sup>53</sup> ، خط پایه LM PT خودمان و دو نوع SIPT ("C-" نشان دهنده از دست دادن کنتراست، "M-" از دست دادن چند شباهت). بالاتر بهتر است و بهترین نتایج در هر کار بروزگر هستند.

## جدول داده های توسعه یافته 5 | عملکرد بازیابی پیوند PT برای حوزه پروتئین ها

روش	ASl	LRAP	nDCG	Ap	MRR
خط پایه تصادفی	N / A	%0.88	%27.1	%0.88	0.003
نوار <sup>5</sup>	N / A	%8.50	%34.9	%2.41	0.226
خط پایه LM PT	0	%8.92	%38.0	%2.33	0.238
(TAPE) SIPT مقداردهی اولیه	0.01	%9.69	%39.1	%2.56	0.254
	0.10	%10.95	%39.4	%3.46	0.260
	0.50	%10.54	%40.3	%3.43	0.246
	0.90	%10.12	%39.0	%3.16	0.237
	0.99	%14.50	%37.5	%3.13	0.236

عملکرد بازیابی پیوند را برای یک خط پایه تصادفی، مدل TAPE خام و SIPT مجموعه داده های توالی پروتئینی تنظیم کرد. LRAP، میانگین دقت رتبه بندی برچسب، nDCG، سود تجمعی با تخفیف نرمال شده، AP، میانگین رتبه متقابل، مقادیر بالاتر نشان دهنده عملکرد بهتر است. با رنگ خاکستری بر جسته شده است تحقق چارچوب SIPT که نتایج بهتری نسبت به قوی ترین خط پایه به همراه دارد و شواهدی را ارائه می دهد که ترکیب اطلاعات رابطه ای در سطح توالی در PT (عنی  $ASl > 0$ ) منجر به بهبود عملکرد می شود.

جدول داده های توسعه یافته 6 | عملکرد بازیابی پیوند PT برای دامنه چکیده ها

روش	$\lambda_{SI}$	LRAP	nDCG	Ap	MRR
خط پایه تصادفی	N / A	%0.89	%26.0	%0.27	0.016
SciBERT <sup>53</sup>	N / A	%17.22	%52.8	%5.16	0.272
(SciBERT) LM PT Baseline	0	%16.79	%35.4	%5.00	0.271
DAPT CS RoBERTa <sup>59</sup>	N / A	%32.56	%50.3	%12.86	0.459
(CS RoBERTa) LM PT Baseline	0	%30.58	%48.3	%12.36	0.438
(SciBERT) SIPT	0.01	%42.26	%58.7	%14.23	0.536
	0.10	%34.73	%52.5	%9.39	0.457
	0.50	%32.85	%50.8	%8.37	0.438
	0.90	%31.61	%49.8	%7.82	0.426
	0.99	%30.72	%49.0	%6.80	0.415
(CS RoBERTa) SIPT	0.01	%33.32	%51.2	%8.61	0.448
	0.10	%25.46	%44.4	%5.88	0.359
	0.50	%25.08	%44.0	%6.08	0.355
	0.90	%22.43	%41.6	%4.27	0.317
	0.99	%22.38	%41.5	%4.68	0.316

عملکرد بازیابی پیوند را برای یک خط پایه تصادفی، مدل خام SciBERT و SIPT در مجموعه داده مقالات علمی تنظیم کرد. LRAP، میانگین دقت رتبه بندی بر جرسیب. nDCG، سود تجمعی با تخفیف نرمال شده. AP، دقت متوسط؛ MRR، میانگین رتبه متقابل. مقادیر بالاتر نشان دهنده عملکرد بهتر است. تحقق چارچوب SIPT که نتایج بهتری نسبت به قوی ترین خط پایه به همراه دارد، برجسته شده است و شواهدی را ارائه می دهد که نشان می دهد که دقت ترکیب اطلاعات رابطه ای در سطح نوالی در PT (یعنی  $\lambda_{SI} > 0$ ) منجر به بهبود عملکرد می شود.